

**Российская академия наук
Сибирское отделение**

ОПТИКА АТМОСФЕРЫ И ОКЕАНА

Том 28, № 8 август, 2015

Научный журнал

Основан в январе 1988 года академиком В.Е. Зуевым

Выходит 12 раз в год

Главный редактор

доктор физ.-мат. наук Г.Г. Матвиенко

Заместители главного редактора

доктор физ.-мат. наук Б.Д. Белан,
доктор физ.-мат. наук Ю.Н. Пономарев

Ответственный секретарь

доктор физ.-мат. наук В.А. Погодаев

Редакционная коллегия

Багаев С.Н., академик РАН, Институт лазерной физики (ИЛФ) СО РАН, г. Новосибирск, Россия;
 Банах В.А., д.ф.-м.н., Институт оптики атмосферы им. В.Е. Зуева (ИОА) СО РАН, г. Томск, Россия;
 Белов В.В., д.ф.-м.н., ИОА СО РАН, г. Томск, Россия;
 Букин О.А., д.ф.-м.н., Дальневосточная морская академия им. адмирала Г.И. Невельского, г. Владивосток, Россия;
 Голицын Г.С., академик РАН, Институт физики атмосферы им. А.М. Обухова (ИФА) РАН, г. Москва, Россия;
 Еланский Н.Ф., чл.-кор. РАН, ИФА РАН, г. Москва, Россия;
 Землянов А.А., д.ф.-м.н., ИОА СО РАН, г. Томск, Россия;
 Кандидов В.П., д.ф.-м.н., Международный лазерный центр МГУ им. М.В. Ломоносова, г. Москва, Россия;
 Кулмала М. (*Kulmala M.*), проф., руководитель Отдела атмосферных наук кафедры физики, Университет г. Хельсинки, Финляндия;
 Лукин В.П., д.ф.-м.н., ИОА СО РАН, г. Томск, Россия;
 Михайлов Г.А., чл.-кор. РАН, Институт вычислительной математики и математической геофизики СО РАН, г. Новосибирск, Россия;
 Павлов В.Е., д.ф.-м.н., Институт водных и экологических проблем СО РАН, г. Барнаул, Россия;
 Панченко М.В., д.ф.-м.н., ИОА СО РАН, г. Томск, Россия;
 Ракев А.М., д.ф.-м.н., ИЛФ СО РАН, г. Новосибирск, Россия;
 Тарасенко В.Ф., д.ф.-м.н., Институт сильноточечной электроники СО РАН, г. Томск, Россия;
 Шабанов В.Ф., академик РАН, Красноярский научный центр СО РАН, г. Красноярск, Россия;
 Шайн К. (*Shine K.P.*), член Английской академии наук, королевский профессор метеорологических и климатических наук, Департамент метеорологии, Университет г. Рединга, Великобритания;
 Циас Ф. (*Ciais P.*), проф., научный сотрудник Лаборатории климатических наук и окружающей среды совместного научно-исследовательского подразделения Комиссариата атомной энергии и Национального центра научных исследований (НЦНИ) Франции, г. Жи-сюр-Ивett, Франция

Совет редакколлегии

Борисов Ю.А., к.ф.-м.н., Центральная аэрологическая обсерватория, г. Долгопрудный Московской обл., Россия;
 Заворуев В.В., д.б.н., Институт вычислительного моделирования СО РАН, г. Красноярск, Россия;
 Ивлев Л.С., д.ф.-м.н., Научно-исследовательский институт физики им. В.А. Фока при СПбГУ, г. Санкт-Петербург, Россия;
 Игнатьев А.Б., д.т.н., ГСКБ Концерна ПВО «Алмаз-Антей» им. академика А.А. Расплетина, г. Москва, Россия;
 Кабанов М.В., чл.-кор. РАН, Институт мониторинга климатических и экологических систем СО РАН, г. Томск, Россия;
 Михалев А.В., д.ф.-м.н., Институт солнечно-земной физики СО РАН, г. Иркутск, Россия;
 Якубов В.П., д.ф.-м.н., Национальный исследовательский Томский государственный университет, г. Томск, Россия

Зав. редакцией С.Б. Пономарева

Федеральное государственное бюджетное учреждение науки
 Институт оптики атмосферы им. В.Е. Зуева СО РАН
 Россия, 634055, г. Томск, пл. Академика Зуева, 1

Адрес редакции: 634055, г. Томск, пл. Академика Зуева, 1
 Тел. (382-2) 49-24-31, 49-19-28; факс (382-2) 49-20-86
 E-mail: psb@iao.ru
 http://www.iao.ru

© Сибирское отделение РАН, 2015

© Федеральное государственное бюджетное учреждение науки
 Институт оптики атмосферы им. В.Е. Зуева СО РАН, 2015

СОДЕРЖАНИЕ

Том 28, № 8 (319), с. 673–760

август, 2015 г.

СПЕКТРОСКОПИЯ ОКРУЖАЮЩЕЙ СРЕДЫ

Дударёнок А.С., Лаврентьева Н.Н., Ma Q. Метод средних частот для расчета полуширин линий молекул типа асимметричного волчка	675
---	-----

ОПТИКА КЛАСТЕРОВ, АЭРОЗОЛЕЙ И ГИДРОЗОЛЕЙ

Лужецкая А.П., Поддубный В.А., Ципуштanova Т.В. Полуэмпирические статистические модели влияния атмосферного аэрозоля на возмущения потоков коротковолновой солнечной радиации по данным фотометрических измерений	682
Сакерин С.М., Кабанов Д.М. Мелко- и грубодисперсные компоненты аэрозольной оптической толщины атмосферы в морских и полярных районах	690
Щелканов Н.Н. Сравнение однопараметрических и двухпараметрических моделей аэрозольного ослабления для экспериментальных данных аридной зоны Казахстана	698

ДИСТАНЦИОННОЕ ЗОНДИРОВАНИЕ АТМОСФЕРЫ, ГИДРОСФЕРЫ И ПОДСТИЛАЮЩЕЙ ПОВЕРХНОСТИ

Ионов Д.В., Тимофеев Ю.М., Поберовский А.В. Спектроскопические измерения содержания O_3 и NO_2 в атмосфере: коррекция наземного метода и результаты сопоставления с данными спутниковых измерений	704
---	-----

АТМОСФЕРНАЯ РАДИАЦИЯ, ОПТИЧЕСКАЯ ПОГОДА И КЛИМАТ

Тартаковский В.А., Крутиков В.А., Волков Ю.В., Чередько Н.Н. Классификация климата путем анализа фазы температурных рядов	711
Михалев А.В., Подлесный С.В., Костылева Н.В., Комарова Е.С. Оптические характеристики ночного неба в Восточной Сибири после падения Челябинского метеорита. II. Собственное излучение верхней атмосферы Земли	718
Селегей Т.С., Филоненко Н.Н., Ленковская Т.Н. О методике определения метеорологического потенциала загрязнения атмосферы	725
Аршинов М.Ю., Белан Б.Д., Давыдов Д.К., Козлов А.В., Козлов А.С., Аршинова В.Г. Нуклеационные всплески в атмосфере бореальной зоны Западной Сибири. Часть II. Скорости образования и роста наночастиц	730

АППАРАТУРА И МЕТОДЫ ОПТИЧЕСКОЙ ДИАГНОСТИКИ ОКРУЖАЮЩЕЙ СРЕДЫ

Коняев П.А., Ботыгина Н.Н., Антошкин Л.В., Емалеев О.Н., Лукин В.П. Об измерении структурной характеристики показателя преломления атмосферы пассивными оптическими методами	738
Смалих И.Н., Банах В.А., Holzäpfel F., Rahm S. Оценивание параметров самолетных вихрей из массива радиальных скоростей, измеренных когерентным доплеровским лидаром	742
Шерстобитов М.В., Цвык Р.Ш., Лобода Е.Л. Анализ последовательности термограмм при определении частоты вращения факела	751
Петров Д.В., Матросов И.И., Сединкин Д.О., Тихомиров А.А. Эффективный спектральный прибор для спектроскопии комбинационного рассеяния света	756

CONTENTS

Vol. 28, No. 8 (319), p. 673–760

August, 2015

Spectroscopy of ambient medium

Dudaryonok A.S., Lavrentieva N.N., Ma Q. Averaged energy difference method of calculation of asymmetric top line broadening	675
---	-----

Optics of clusters, aerosols, and hydrosoles

Luzhetskaya A.P., Poddubnyi V.A., Tsipushtanova T.V. Semi empirical statistical models of the influence of atmospheric aerosol on perturbation of fluxes of short-wave solar radiation from data of photometrical measurements	682
Sakerin S.M., Kabanov D.M. Finely and coarsely dispersed components of atmospheric aerosol optical depth in maritime and polar regions	690
Shchelkanov N.N. Comparison of one-parametrical and two-parametrical models of aerosol extinction for experimental data of an arid zone of Kazakhstan	698

Remote sensing of atmosphere, hydrosphere, and underlying surface

Ionov D.V., Timofeyev Yu.M., Poberovskii A.V. Spectroscopic measurements of O ₃ and NO ₂ atmospheric content: Improvements to ground-based method and comparison with the data of satellite observations	704
--	-----

Atmospheric radiation, optical weather, and climate

Tartakovsky V.A., Krutikov V.A., Volkov Yu.V., Cheredko N.N. Climate classification by analysis of the phases of temperature series	711
Mikhalev A.V., Podlesny C.V., Kostyleva N.V., Komarova E.S. Optical characteristics of the night sky over Eastern Siberia after the Chelyabinsk meteorite fall. II. Airglow	718
Selegei T.S., Filonenko N.N., Lenkovskaya T.N. On the method of determining meteorological air pollution potential	725
Arshinov M.Yu., Belan B.D., Davydov D.K., Kozlov A.V., Kozlov A.S., Arshinova V.G. Nucleation bursts in the atmosphere over boreal zone in West Siberia. Part II. Formation and growth rates of nanoparticles	730

Optical instrumentation

Konyaev P.A., Botygina N.N., Antoshkin L.V., Emaleev O.N., Lukin V.P. About measurement of the structure characteristic of atmospheric refractive index by passive optical methods	738
Smalikho I.N., Banakh V.A., Holzapfel F., Rahm S. Estimation of aircraft wake vortex parameters from array of radial velocities measured by a coherent Doppler lidar	742
Sherstobitov M.V., Tsvykh R.Sh., Loboda E.L. Processing sequence of thermograms in determining rotation frequency of the torch	751
Petrov D.V., Matrosov I.I., Sedinkin D.O., Tikhomirov A.A. Effective spectral device for Raman spectroscopy	756

СПЕКТРОСКОПИЯ ОКРУЖАЮЩЕЙ СРЕДЫ

УДК 539.194, 539.196.3

Метод средних частот для расчета полуширин линий молекул типа асимметричного волчка**А.С. Дударёнок¹, Н.Н. Лаврентьева¹, Q. Ma^{2*}**¹*Институт оптики атмосферы им. В.Е. Зуева СО РАН
634055, г. Томск, пл. Академика Зуева, 1, Россия*²*Институт космических исследований Годдарда,
Кафедра прикладной физики, Колумбийский университет
10025, г. Нью-Йорк, Бродвей, 2880, США*

Поступила в редакцию 19.02.2014 г.

Представлен новый метод оценки коэффициентов уширения колебательно-вращательных линий молекул типа асимметричного волчка. Метод позволяет получить значения полуширин линий на основе небольшого количества эмпирических данных, не прибегая к сложным вычислениям. На основе анализа экспериментальных данных получена зависимость средних частот от колебательных квантовых чисел. Подход протестирован на примере расчета полуширин линий молекул типа асимметричного волчка H_2O и HDO . Проведено сравнение рассчитанных параметров контура линий с экспериментальными данными в различных полосах поглощения.

Ключевые слова: метод средних частот, столкновительный переход, коэффициент уширения линии; the averaged energy difference method, collisional transition, line broadening coefficient.

Введение

В настоящее время для вычислений ударных параметров контура колебательно-вращательных линий используются несколько методов, к числу которых относятся различные модификации метода Робера–Бонами (РБ) [1, 2] и некоторые полуэмпирические (ПЭ) методы [3, 4]. Полученные по наиболее часто применяемому формализму Робера–Бонами расчетные значения демонстрируют хорошее согласие с экспериментальными данными [5]. Теория РБ не содержит процедуры прерывания, характерной для многих методик, она включает действующее на близких расстояниях атом–атомное взаимодействие и более реалистично описывает межмолекулярную динамику, так как учитывает искривление траекторий. Именно с этим связаны значительные затраты времени при вычислениях по методу Робера–Бонами. Кроме того, Ma, Tipping и Boulet [2] указали на ошибки, допущенные в формализме Робера–Бонами при получении основных соотношений для полуширины и сдвига линии, обусловленные использованием теоремы о связанных диаграммах. Однако устранение указанных ошибок не привело к улучшению сходимости расчетных и экспериментальных значений параметров по сравнению с методом РБ.

В настоящей статье мы предлагаем новый метод расчета столкновительных полуширин линий молекул типа асимметричного волчка – метод средних частот – и рассматриваем его апробацию на примере вычисления коэффициентов уширения линий молекул данного типа в случае столкновений: $\text{H}_2\text{O}–\text{N}_2$, $\text{HDO}–\text{ воздух}$.

1. Основные соотношения метода

Предлагаемый метод основан на оценке вкладов столкновительных переходов в полуширину спектральной линии. Идея заключается в том, что из всей расчетной схемы выделяется совокупность величин, которые отражают влияние буферной частицы на внутреннее состояние поглощающей молекулы и из них компонуется параметр, который в дальнейшем будем называть средней частотой столкновительных переходов. Под столкновительными переходами понимаем все возможные переходы с определенного энергетического уровня, обусловленные столкновениями.

Полуширина линии (соответствующей переходу $i \rightarrow f$) в полуклассической ударной теории при условии прямолинейного приближения траектории относительного движения сталкивающихся молекул имеет следующий вид [6]:

$$\gamma_{if} = \frac{n_2}{c} \sum_{i_2}^{\infty} \rho(i_2) \int_0^{\infty} dv v f(v) \int_0^{\infty} db b \text{Re} S(b), \quad (1)$$

* Анна Сергеевна Дударёнок (osip0802@sibmail.com);
Нина Николаевна Лаврентьева (Inn@iao.ru); Qiancheng Ma (qma@giss.nasa.gov).

где n_2 — число молекул буферного газа в единице объема; c — скорость света; $\rho(i_2)$ — заселенность уровня i_2 уширяющей молекулы; v — относительная скорость сталкивающихся молекул; $f(v)$ — функция распределения Максвелла; b — прицельный параметр; $S(b)$ — функция эффективности. Функция $S(b)$ может быть представлена в виде ряда теории возмущения по межмолекулярному потенциальному. Член первого порядка является мнимым и не дает вклада в уширение линий. Член второго порядка $S_2(b)$ состоит из трех слагаемых:

$$S_2(b) = S_{2i}^{\text{outer}}(b) + S_{2f}^{\text{outer}}(b) + S_2^{\text{middle}}(b). \quad (2)$$

По сравнению с $\text{Re}(S_{2i}^{\text{outer}}(b) + S_{2f}^{\text{outer}}(b))$ вклад от $\text{Re}(S_2^{\text{middle}}(b))$ в $\text{Re}(S_2(b))$ незначителен. Входящая в (2) сумма S_{2i}^{outer} и S_{2f}^{outer} записывается в следующем виде:

$$S_{2i}^{\text{outer}} + S_{2f}^{\text{outer}} = \sum_{l_1 l_2} \frac{a_{l_1 l_2}}{(\hbar v b^{l_1 + l_2})^2} \sum_{i_2} D^2(i_2 i_2' | l_2) \times \left\{ \sum_{i'} D^2(ii' | l_1) \varphi_{l_1 l_2}(k_{ii' i_2 i_2'}) + \sum_{f'} D^2(ff' | l_1) \varphi_{l_1 l_2}(k_{ff' i_2 i_2'}) \right\}. \quad (3)$$

Здесь $D^2(ii' | l_1)$, $D^2(ff' | l_1)$ — силы переходов поглощающей молекулы, относящиеся к каналам рассеяния $i \rightarrow i'$ и $f \rightarrow f'$; \hbar — постоянная Планка; $a_{l_1 l_2}$ — числовые коэффициенты, которые выбираются так, чтобы $\text{Re}\varphi_{l_1 l_2}(0) = 1$;

$$\varphi_{l_1 l_2}(k_{ii' i_2 i_2'}) = -\frac{1}{a_{l_1 l_2} \hbar^2} \times \sum_{q_1 q_2} \int_{-\infty}^{+\infty} dt \int_{-\infty}^t dt' e^{ik_{ii' i_2 i_2'} \frac{(t-t')v}{2\pi c b}} C_{l_1 l_2}^{q_1 q_2}(t) C_{l_1 l_2}^{q_1 q_2}(t'), \quad (4)$$

где $C_{l_1 l_2}^{q_1 q_2}(t)$ — коэффициенты разложения оператора межмолекулярного потенциала по сферическим компонентам 2^l-польных моментов молекул; $q_1 = 0, \pm 1, \dots, \pm l_1$, $q_2 = 0, \pm 1, \dots, \pm l_2$; $C_{l_1 l_2}^{q_1 q_2}(t)$ зависит от расстояния между молекулами, взаимной ориентации и, следовательно, от времени. Функция $\varphi_{l_1 l_2}(k_{ii' i_2 i_2'})$ называется резонансной функцией, ее действительная часть соответствует полуширине, а мнимая — сдвигу линий. Параметр $k_{ii' i_2 i_2'}$ зависит от частот столкновительных переходов и определяется следующей формулой:

$$k_{ii' i_2 i_2'} = \frac{2\pi c b}{v} (\omega_{ii'} + \omega_{i_2 i_2'}). \quad (5)$$

Для расчета полуширины линии берется действительная часть резонансной функции: $\text{Re}\varphi_{l_1 l_2}(k_{ii' i_2 i_2'}) \equiv f(\omega_{ii'})$. Тогда выражение в фигурных скобках из (3) запишется как

$$\left\{ \sum_{i'} D^2(ii' | l_1) f(\omega_{ii'}) + \sum_{f'} D^2(ff' | l_1) f(\omega_{ff'}) \right\}. \quad (6)$$

В него входят частоты переходов $\omega_{ii'}$, $\omega_{ff'}$ для каналов рассеяния $i \rightarrow i'$, $f \rightarrow f'$, матричные элементы дипольного ($l_1 = 1$), квадрупольного ($l_1 = 2$) момен-

тов столкновительных переходов $D^2(ii' | l_1)$, $D^2(ff' | l_1)$ и резонансные функции $f(\omega_{ii'})$, $f(\omega_{ff'})$. Произведение под знаком суммы в выражении (6) определяет вклад канала рассеяния $i \rightarrow i'$ или $f \rightarrow f'$ в величину полуширины линии.

На рис. 1 приведена схема вращательных уровней энергии молекулы воды. Стрелками отмечены столкновительные переходы с начального i и конечного f уровней на уровни i' , f' , соответствующие дипольным правилам отбора. Толщина столбиков пропорциональна величине вкладов каналов рассеяния в полуширину линии. Заштрихованные столбики относятся к переходам на выше расположенные (относительно i и f) уровни энергии, темные — на нижерасположенные уровни.

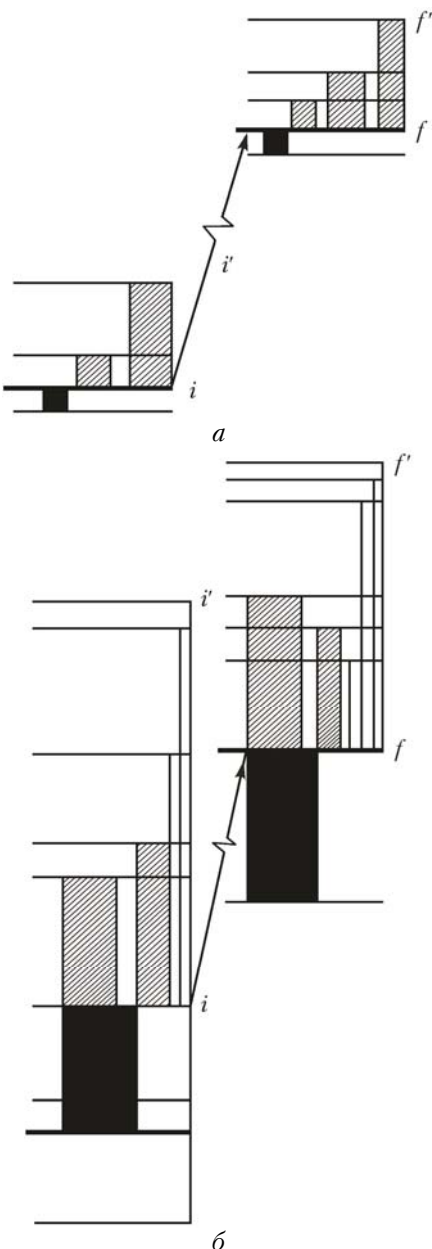


Рис. 1. Схема вращательных уровней поглощающей молекулы воды для случаев малых (а) и больших (б) значений вращательного квантового числа J